食品衛生基準科学研究費補助金 (食品安全科学研究事業)

分担研究報告書

毒性試験(マウスにおけるモニリフォルミンの腎毒性機序解明試験)

研究分担者 渋谷 淳 (東京農工大学大学院 農学研究院 動物生命科学部門)

研究要旨

日本国内流通食品に検出される新興カビ毒の安全性確保に関する研究の一端として、新興カビ毒の一つであるモニリフォルミン(MON)についての毒性情報を得るために、令和4年度及び5年度にマウスを用いた MON の単回投与試験と一般毒性試験をそれぞれ実施したところ、腎臓にそれぞれ尿細管壊死と再生尿細管が誘発された。そこで令和6年度では、MONによる腎毒性の発現機序を検討することを目的として、MON単回投与後の腎臓における遺伝子発現解析と免疫組織化学的解析を実施した。MONを40mg/kg 体重で単回投与した後の腎皮質におけるRNAシーケンシング解析により、Cyp3a13、Cyp26b1、Cyp4f15などの代謝反応関連遺伝子、及び酸化ストレス関連遺伝子Gpx7の発現が上昇することが明らかになった。IV型 collagenに対する免疫組織化学的解析では、MON投与による壊死尿細管において基底膜の保持が確認された。これらの結果は、MONはマウスの腎臓を標的とし、経口摂取されたMONは、腎臓で代謝され、活性中間体や活性酸素種が腎尿細管毒性を誘発し、近位尿細管壊死を引き起こす可能性が示唆された。

A. 研究目的

カビ毒はカビが感染した農作物中に生産され、歴史的にカビ毒に汚染された食品により、急性摂取による中毒症状や慢性的な摂取による臓器障害が引き起こされている。動物実験の実施により腫瘍誘発性が証明されるようになり、発がん性等の毒性が懸念されてきている。これまで厚生労働科学研究において、平成13年度より様々なカビ毒について日本に流通する食品における汚染実態や毒性に関する研究を行い、カビ毒に汚染された食品摂取の低減を目的とした施策策定の科学的根拠となるデータを取得し、食の安全性確保に貢献してきている。

近年、新興カビ毒と呼ばれる今まで垣間見

られてこなかった一群の新たなカビ毒の存在が注目されてきている。発見は数十年前であり、当時は健康危害物質として認知されていなかったものの、近年の分析法の発展によって食品を汚染していることが明らかになってきたカビ毒の総称であり、国際的な関心が高まっている。モニリフォルミン(MON)は、新興カビ毒に分類される化合物で、平成29年に公表された欧州食品安全機関(EFSA)の評価結果において、実験動物において致死毒性を示すこと、様々な穀類に検出されることが公表され、国際的な関心が高まっており、さらなる情報の収集が望まれている。

既存のマウスを用いた MON の毒性試験

(Burmeister ら、1980) では、単回経口投与毒性試験における LD_{50} 値が $47.6 \,\mathrm{mg/kg}$ (体重 $20 \,\mathrm{g}$ と仮定して約 $1 \,\mathrm{mg/animal/day}$) であったのに対し、 $21 \,\mathrm{H}$ 間反復飲水投与毒性試験においては上述の LD_{50} 値の約 3 倍の摂取量に相当する $2.9 \,\mathrm{mg/animal/day}$ の飲水投与用量群においても、有意な体重増加量の軽微な減少が認められたのみであり、一貫した結果が得られていない。そのため、EFSA による MON のリスク評価 (EFSA, 2018) においてもマウスの毒性情報は考慮されていない。

そこで本分担研究では、マウスにおける MONの毒性兆侯及び無毒性量等、リスク評価 に必要な毒性情報を取得することを目的とし た。昨年度までにマウスを用いた MON の単 回投与試験、14 日間反復投与試験、及び 28 日 間反復試験を実施したところ、単回投与試験 では腎臓皮質深部における急性尿細管壊死、 14 日間及び 28 日間反復投与試験では同部位 における再生尿細管が認められ、マウスにお いて MON は腎臓を毒性標的とする可能性が 示唆された。今年度は MON による腎毒性の 発現機序を検討することを目的とし、MON 単 回投与後の腎臓における遺伝子発現解析と免 疫組織化学的解析を実施した。

B. 研究方法

動物実験

5 週齢の雄マウス (ICR [Crl:CD1 (ICR)])をジャクソン・ラボラトリー・ジャパン株式会社、厚木飼育センターより購入し、1 週間の馴化後実験に用いた。プラスチックケージにて、12 時間の明暗サイクル、室温 23±3°C、湿度 50±20%の制御環境下で個別に飼育した。実験期間中は固形飼料 CRF-1 (γ線滅菌:オリエンタル酵母工業株式会社)と水道水を自由摂取させた。

群構成は溶媒対照群 (6 匹) 及び MON 40 mg/kg-投与群 (12 匹) の 2 群構成とした。溶

媒は Milli-Q 水を用いた。実験期間中は一般状態の観察を行い、投与から 6 時間後に各群 6 匹を剖検し、腎臓を採材して重量を測定した後、半割して一方を組織学的検査に、もう一方を遺伝子発現解析に供した。投与から 24 時間後に MON 投与群の残りの 6 匹を剖検し、腎臓を採材して重量を測定した後、半割して一方を組織学的検査に、もう一方を免疫組織化学的解析に供した。

一般状態の観察

投与前、投与直後及び1、2、3、4、6、8、10 及び24 時間後に実施した。全動物について、体外表、栄養状態、姿勢、行動及び排泄物の異常などの一般状態を観察した。

病理組織学検査

被験液投与6及び24時間後の半割した腎臓をリン酸緩衝 4%パラホルムアルデヒド液で固定した。標準の手順でパラフィン包埋してH·E 染色標本を作製し、鏡検を実施した。

遺伝子発現解析

MON による代謝関連遺伝子の転写レベルの発現変化を検出するために、溶媒対照群とMON 投与群の腎臓サンプルを用いて遺伝子発現解析を実施した。メタカーン固定した腎臓から、Fig. 1 に示すように皮質組織を採材し、RNeasy Mini キット (Qiagen, Hilden, Germany)を用いて total RNA を抽出した。抽出した total RNA は、RNA-Seq 解析 (N=6/グループ、1 サンプルとしてプール)に使用した。 TruSeq stranded mRNA LT Sample Prep Kit (イルミナ株式会社)を用いて、メーカーのプロトコルに従ってサンプル調製を行い、配列決定にはIllumina NovaSeq 6000 を用いた。溶媒対照群と比較して Fold Change(絶対値) ≥ 2 かつ P-value < 0.05 で発現量が増加または減少してい

る遺伝子を選別し、Database for Annotation, Visualization and Integrated Discovery (DAVID) により Gene Ontology に基づく機能アノテーション解析を行った。

免疫組織化学的解析

壊死尿細管における基底膜の有無を確認するために、一次抗体として IV 型 collagen (1:100 希釈; Thermo Fisher Scientific Inc., Waltham, MA, USA; Cat. No. PA1-28534)を用いた。抗原性賦活化処理として、クエン酸緩衝液(pH 6.0)中で121℃,10分の条件で熱処理を加えた。一次抗体の添加前に0.3%過酸化水素を含むメタノール中に30分間浸漬し、内因性ペルオキシダーゼを不活化した。シグナル検出は Vectastain® Elite ABC kit (Vector Laboratories Inc., Burlingame, CA, USA)を用い、3,3′-diaminobenzidine/過酸化水素を用いて可視化した後、ヘマトキシリンで対比染色を施し、鏡検に供した。

統計解析

計量データについて溶媒対照群と MON 投与群との間で検定を行った。Levene 検定で等分散性を確認した後、Dunnett の検定あるいはBonferroni 補正を用いた Aspin-Welch の t 検定を行った。統計解析には IBMSPSS Statistics ver. 25 (IBM Corporation) を用いた。

(倫理面への配慮)

動物実験は動物の愛護及び管理に関する法律(動愛法)」を遵守し、実験動物の飼育及び保管並びに苦痛の軽減に関する基準(環境省告示第88号)、研究機関等における動物実験等の実施に関する基本指針(文部科学省告示第71号)、厚生労働省の所管する動物実験等の実施に関する基本指針(厚生労働省通知科発0601002号)、動物実験の適正な実施に

向けたガイドライン(日本学術会議)の指針及 びガイドラインに即して設けられた東京農工 大学実験動物取り扱い倫理規程に則り、東京 農工大学動物実験小委員会の了承を得て適切 に動物実験を実施した。

C. 研究結果

一般状態の観察

いずれの群においても変化は認められなかった。

腎臟重量

いずれの群においても変化は認められなかった (Table 1)。

病理組織学検査結果

被験液投与 6 時間後では、溶媒対照群と MON 投与群のいずれにおいても明らかな病 理組織学変化は認められなかった。MON 投与 24 時間後では、2 例の皮質に尿細管壊死が認められた(Fig. 2)。

RNA-Seq 解析データ

MON 投与群では、溶媒対照群と比較して、397遺伝子の発現が増加し、321遺伝子の発現が減少した。遺伝子オントロジーに基づく機能アノテーション解析により、MON を 40 mg/kg 体重で単回経口投与した 6 時間後に発現が有意に増加した遺伝子は、多くの機能グループを形成していることが明らかになった。腎皮質で発現が増加した代表的な遺伝子クラスターは、外部刺激に対する応答、すなわち、Ces1g、Cyp26b1、Plxna3、Ren1、Rest、細胞移動、すなわち、Egr1、Plxna3、Rnd1、免疫系プロセスの制御、すなわち、Cyp26b1、P4htm、Tnfrsf13b、脂質結合、すなわち、Cyp26b1、P4htm、Tnfrsf13b、脂質結合、すなわち、Cyp4f15;レチノイド代謝プロセス、ジテルペノイド代謝プロセス、およびテルペノイド代謝プロセス、およびテルペノイド代謝プロセス、およびテルペノイド代謝プロセス、

すなわち Cyp26b1、Cyp3a13、および Ttr; ステロイド代謝プロセス、すなわち Ces1g、Cyp26b1、Cyp3a13、Egr1、Hsd17b14、および Rest; 同一タンパク質結合、すなわち Apobec2; および細胞外領域、すなわち Gpx7 が含まれていた(Table 2)。発現が減少した遺伝子群に、特徴的な遺伝子は含まれていなかった。

免疫組織化学的解析結果

MON 投与群で認められた壊死尿細管において IV 型 collagen 陽性を示す基底膜が観察された (Fig. 2)。

D. 考察

MON の急性経口毒性試験では、40 mg/kg 体 重以上の MON を投与されたマウスの腎皮質 に、局所的な近位尿細管壊死が散見された。80 mg/kg 体重の MON を単回投与したところ、5 匹中 4 匹に死亡または瀕死がみられたことか ら、MON の毒性による急性心不全の誘発が示 唆された。急性心不全は、急性尿細管壊死また は腎皮質壊死を引き起こすことが知られてい る (Di Lullo et al., 2017)。 しかし、全身循環障 害に起因するこれらのタイプの尿細管壊死は、 尿細管基底膜の破壊の有無にかかわらず、近 位尿細管の不規則な壊死 (急性尿細管壊死) ま たは両側皮質の全部または一部の壊死(腎皮 質壊死)をもたらす可能性がある(Cianciolo and Mohr, 2015)。したがって、本研究における MON 投与後の局所的尿細管壊死の分布にお ける散在パターンは、有効循環血量の低下に 起因する虚血性の尿細管壊死とは区別される。 さらに、14日間及び28日間の反復経口投与毒 性試験では、40 mg/kg 体重 MON/日の投与に より、腎皮質における尿細管再生の発生頻度 の増加が認められた。しかし、これらの試験で は、尿細管基底膜の破壊による尿細管再生不 全の結果を示唆する線維化変化は認められな

かった。

今年度は、昨年度までに見出した MON の 腎毒性について、40 mg/kg 体重の MON 単回 投与後の遺伝子発現解析と免疫組織化学的解 析によってその発現機序を検討した。免疫組 織化学的解析の結果、壊死した尿細管におけ る尿細管再生に不可欠な IV 型 collagen の基 底膜の免疫反応性は、MON の単回投与後も保 持されていた。この再生能力の主要な決定因 子は、尿細管基底膜の維持であり、これは低灌 流由来の虚血性傷害後よりも、毒性由来の傷 害後の方で保持され易いことが知られている (Breshears and Confer, 2016)。これらの所見か ら、マウスに MON を反復投与した後の近位 尿細管再生は、代謝活性化により誘発された MON 毒性により、反復投与初期に急性尿細管 壊死が生じた後遺症である可能性が示唆され た。

MON 投与から 6 時間後の腎臓における遺 伝子発現解析では、Cyp3a13、Cyp26b1、Cyp4f15 などの代謝反応に関連する遺伝子や酸化スト レスに関連する Gpx7 が発現増加を示した。シ トクロム P450 (CYP) は様々なカビ毒の生体 内変換に寄与することが知られている。カビ 毒とその代謝物が細胞内に蓄積すると酸化ス トレスが生じ、多くの重要な細胞プロセスに 影響を及ぼす (Wen et al., 2016)。マウス肝臓 では、CYP3A13 はアフラトキシン B₁の生物 活性化を触媒する重要な酵素であり、反応性 で求電子性のエキソアフラトキシン B₁-8,9-エ ポキシドを生成する (Yanagimoto et al., 1994)。 CYP26B₁ はオールトランス-レチノイン酸の クリアランスに関与し (Isoherranen and Zhong, 2019)、CYP4F15 はアラキドン酸カスケード において重要なCYP4Fサブファミリーのメン バーである (Kalsotra and Strobel, 2006)。Gpx7 にコードされるグルタチオンペルオキシダー ゼ7は、様々なストレスに応答してジスルフ

ィド結合をシャトリングすることにより、そ の相互作用タンパク質にシグナルを伝達する ストレスセンサー/伝達物質として機能する (Chen et al., 2016)。 MON の代謝に関与する CYP はまだ特定されていないが、腎尿細管で MON が代謝される際に生成される活性中間 代謝物や活性酸素種による毒性が、MON 投与 により誘発される近位尿細管壊死の原因であ る可能性がある。また、昨年実施した28日間 の試験では、40 mg/kg 体重 MON/日を投与し たマウスで、肝臓の絶対重量の増加とともに、 中心小葉肝細胞の肥大が観察された。多くの 有害物質は、数日間の連続投与により、肝臓の ミクロソームでCYPを含む代謝酵素の産生を 誘導することが知られている(Amacher et al., 1998)。したがって、経口投与された MON は、 肝細胞だけでなく、近位尿細管上皮細胞でも 代謝される可能性があり、活性中間体や活性 酸素種が尿細管毒性を引き起こすかもしれな V10

E. 結論

MON を 40 mg/kg 体重 単回投与した後の 腎皮質における網羅的遺伝子発現解析により、 代謝反応関連遺伝子、及び酸化ストレス関連 遺伝子の発現上昇が明らかになった。IV 型 collagen に対する免疫組織化学的解析の結果、 MON 投与による壊死尿細管において基底膜 の保持が確認された。これらの結果から、 MON がマウスの腎臓を標的とし、経口摂取された MON は、腎臓で代謝され、活性中間体や活性酸素種が腎尿細管毒性を誘発し、近位尿細管壊死を引き起こす可能性が示唆された。

F. 健康危機情報 特になし

- G. 研究発表
- 1. 論文発表
- Ojiro, R., Zou, X., Yamagata, H., Ebizuka, Y., Kobayashi, M., Kigata, T., Tang, Q., Yoshida, T., Tomoya Yoshinari, T., <u>Shibutani, M.</u>: Emerging mycotoxin moniliformin induces renal tubular necrosis after oral exposure in mice. Food Chem. Toxicol. 19:115336, 2025.

2. 学会発表

該当なし

- H. 知的財産権の出願・登録状況
- 1. 特許取得

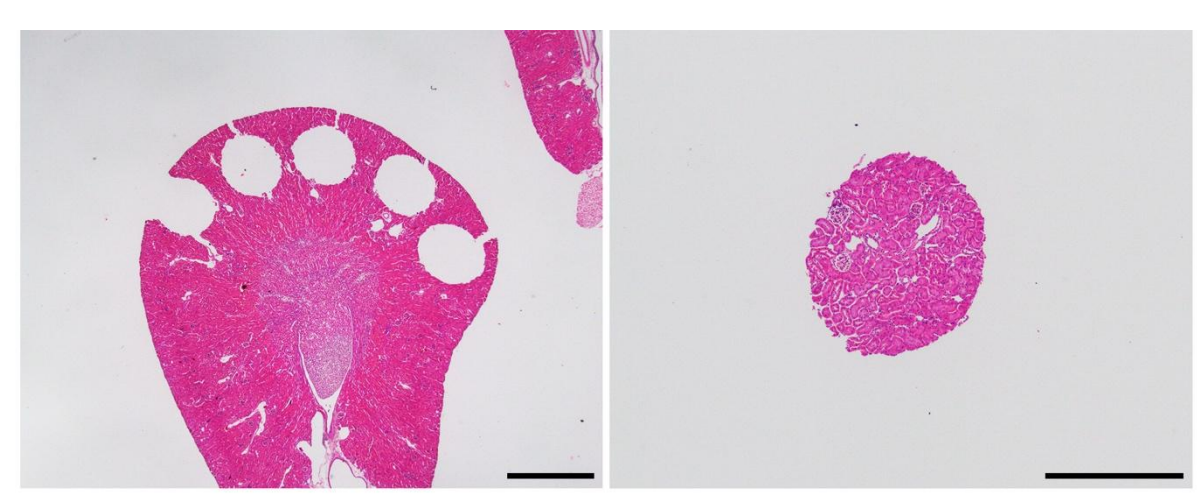
該当なし

2. 実用新案登録

該当なし

3. その他

該当なし



左図: 拡大率 ×12.5 (bar = 1 mm)。右図: 拡大率 ×40 (bar = 500 μm)

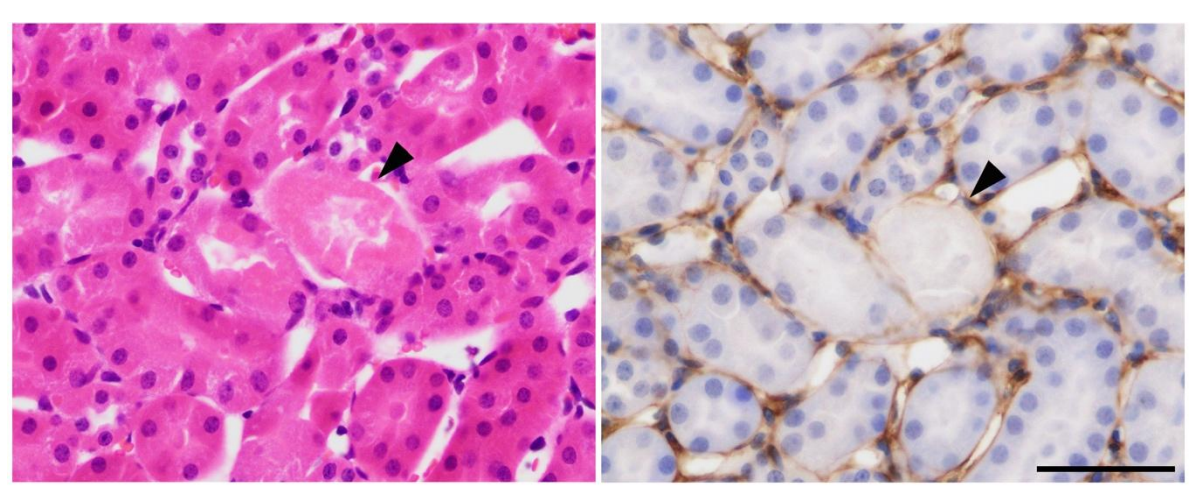


Fig. 2 MON を単回経口投与したマウス腎臓の壊死を示す尿細管の代表的な画像。左のパネル: ヘマトキシリン・エオジン染色、右パネル: コラーゲン 4 の免疫反応性。矢印は壊死した尿細管を示す。拡大率 $\times 400$ (バー = $50 \mu m$)

Table 1 CD1(ICR)雄マウスに MON を単回経口投与した後の腎臓重量

	Vehicle controls				MON-treatment groups					
After dosing	6 h				6 h			24 h		
No. of animals examined		6			6			6		
Kidney weight ^a (g)	0.45	±	0.05	0.43	±	0.04	0.47	±	0.03	

MON: moniliformin.

^a Mean \pm SD.

Table 2 MON 単回経口投与後の CD1(ICR)雄マウスの腎臓において、発現量が増加した代謝反応に関連した遺伝子のリスト

Gene symbol	Description	log ₂ (fold-change) P-value					
Response to exter	Response to external stimulus						
Ces1g	Carboxylesterase 1G	2.406	< 0.001				
Cyp26b1	Cytochrome P450, family 26, subfamily b, polypeptide 1	2.767	< 0.001				
Plxna3	Plexin A3	2.497	0.001				
Ren1	Renin 1 structural	2.924	< 0.001				
Rest	RE1-silencing transcription factor	2.709	< 0.001				
Cell migration							
Egr1	Early growth response 1	2.311	< 0.001				
Plxna3	Plexin A3	2.497	0.001				
Rnd1	Rho family GTPase 1	4.227	< 0.001				
Regulation of im	nune system process						
Cyp26b1	Cytochrome P450, family 26, subfamily b, polypeptide 1	2.767	< 0.001				
P4htm	Prolyl 4-hydroxylase, transmembrane (endoplasmic reticulum)	2.497	0.002				
Tnfrsf13b	Tumor necrosis factor receptor superfamily, member 13b	2.215	0.025				
Lipid binding							
Cyp4f15	Cytochrome P450, family 4, subfamily f, polypeptide 15	2.311	0.007				
Retinoid metabol	ic process, diterpenoid metabolic process, terpenoid metabolic process						
Cyp26b1	Cytochrome P450, family 26, subfamily b, polypeptide 1	2.767	< 0.001				
Cyp3a13	Cytochrome P450, family 3, subfamily a, polypeptide 13	2.469	< 0.001				
Ttr	Transthyretin	34.555	< 0.001				
Steroid metabolic	process						
Ces1g	Carboxylesterase 1G	2.406	< 0.001				
Cyp26b1	Cytochrome P450, family 26, subfamily b, polypeptide 1	2.767	< 0.001				
Cyp3a13	Cytochrome P450, family 3, subfamily a, polypeptide 13	2.469	< 0.001				
Egr1	Early growth response 1	2.311	< 0.001				
Hsd17b14	Hydroxysteroid (17-beta) dehydrogenase 14	4.663	< 0.001				
Rest	RE1-silencing transcription factor	2.709	< 0.001				
Identical protein	pinding						
Apobec2	Apolipoprotein B mRNA editing enzyme, catalytic polypeptide 2	7.384	< 0.001				
Extracellular regi	on						
Gpx7	Glutathione peroxidase 7	2.037	0.008				